

$k-\epsilon$ 乱れモデルによる平板周辺の流れの計算

秋田大学 ○学生員 星 尚亮
 学生員 京極 敏幸
 正員 石井 千万太郎

1. はじめに

長方形断面の開水路の左側の側壁に平板が直角に突き出された場合の流れを取上げ、乱流モデルを用いて、定常流状態の水深方向に平均化された流れの数値解析を行なった。乱流モデルは、いわゆる2方程式モデルの中から $k-\epsilon$ モデル⁽¹⁾を用いた。

2. 基礎方程式

本研究の対称として流れの境界および座標を図-1に示す。本研究では、非圧縮性流体と定常乱流の基礎方程式を水深方向に平均化し、さらに基準量 U_0 (代表流速), L_0 (代表長)を用いて無次元化された式を用いている。 h は水深、 $(\bar{\cdot})$ は、水深方向に平均化された値を表している。

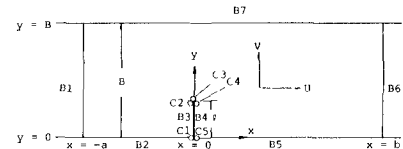


図-1

連続式

$$\frac{\partial(h\bar{U})}{\partial x} + \frac{\partial(h\bar{V})}{\partial y} = 0 \quad \dots \quad (1)$$

x 方向運動方程式 $\frac{\partial(h\bar{U}\bar{U})}{\partial x} + \frac{\partial(h\bar{U}\bar{V})}{\partial y} = -\left(\frac{1}{Fr^2}\right)\left\{h\frac{\partial h}{\partial x} - h_0\right\} + \frac{\partial}{\partial x}\left\{h\bar{U}\left(\frac{\partial \bar{U}}{\partial x} + \frac{\partial \bar{U}}{\partial y}\right)\right\} + \frac{\partial}{\partial y}\left\{h\bar{U}\left(\frac{\partial \bar{U}}{\partial y} + \frac{\partial \bar{V}}{\partial x}\right)\right\} - C_f \bar{U} (\bar{U} + \bar{V})^{\frac{1}{2}} \quad \dots \quad (2)$

y 方向運動方程式 $\frac{\partial(h\bar{U}\bar{V})}{\partial x} + \frac{\partial(h\bar{V}\bar{V})}{\partial y} = -\left(\frac{1}{Fr^2}\right)h\frac{\partial h}{\partial y} + \frac{\partial}{\partial x}\left\{h\bar{V}\left(\frac{\partial \bar{U}}{\partial x} + \frac{\partial \bar{U}}{\partial y}\right)\right\} + \frac{\partial}{\partial y}\left\{h\bar{V}\left(\frac{\partial \bar{V}}{\partial y} + \frac{\partial \bar{V}}{\partial x}\right)\right\} - C_f \bar{V} (\bar{U} + \bar{V})^{\frac{1}{2}} \quad \dots \quad (3)$

ここに C_f ・摩擦係数

動粘性表示式 $\bar{k}_t = C_\mu \frac{k^2}{\bar{\epsilon}} \quad \text{ここに } C_\mu \text{ 定数値 } \bar{\epsilon} \text{ 乱れのエネルギー散逸率 } \bar{k} \text{ 乱れのエネルギー} \quad \dots \quad (4)$

k -方程式 $\frac{\partial(h\bar{k}\bar{U})}{\partial x} + \frac{\partial(h\bar{k}\bar{V})}{\partial y} = \frac{\partial}{\partial x}\left(h \frac{\bar{k}_t}{\bar{\epsilon} k} \frac{\partial \bar{k}}{\partial x}\right) + \frac{\partial}{\partial y}\left(h \frac{\bar{k}_t}{\bar{\epsilon} k} \frac{\partial \bar{k}}{\partial y}\right) + h(P_h + P_{kv} - \bar{\epsilon}) \quad \dots \quad (5)$

ϵ -方程式 $\frac{\partial(h\bar{\epsilon}\bar{U})}{\partial x} + \frac{\partial(h\bar{\epsilon}\bar{V})}{\partial y} = \frac{\partial}{\partial x}\left(h \frac{\bar{k}_t}{\bar{\epsilon} k} \frac{\partial \bar{\epsilon}}{\partial x}\right) + \frac{\partial}{\partial y}\left(h \frac{\bar{k}_t}{\bar{\epsilon} k} \frac{\partial \bar{\epsilon}}{\partial y}\right) + h(C_{1\epsilon} \frac{\bar{\epsilon}}{k} P_h + P_{kv} - C_{2\epsilon} \frac{\bar{\epsilon}^2}{k}) \quad \dots \quad (6)$

ここで $P_h = \bar{k}_t \left[2\left(\frac{\partial \bar{U}}{\partial x}\right)^2 + 2\left(\frac{\partial \bar{V}}{\partial y}\right)^2 + \left(\frac{\partial \bar{U}}{\partial y} + \frac{\partial \bar{V}}{\partial x}\right)^2 \right]$, $P_{kv} = C_k \frac{U_*^3}{h}$

$$P_{kv} = C_\epsilon \cdot \frac{U_*^4}{h^2}, U_* = C_f (\bar{U} + \bar{V})^{\frac{1}{2}}, C_k, C_\epsilon, C_{1\epsilon}, C_{2\epsilon}, C_k, C_\epsilon : \text{定数値}$$

ここで、上式の無次元量は以下に示されるものである。式中の(*)は、次元量を示す。

$$X = \frac{X^*}{L_0}, Y = \frac{Y^*}{L_0}, \bar{U} = \frac{\bar{U}^*}{U_0}, \bar{V} = \frac{\bar{V}^*}{U_0}, h = \frac{h^*}{L_0}, Z_{bb} = \frac{Z_{bb}^*}{L_0}, \bar{k}_t = \frac{\bar{k}_t^*}{U_0 L_0}$$

$$Fr = \frac{U_0}{\sqrt{gh}}, U_* = \frac{U_*^*}{U_0}, P_{kv} = \frac{P_{kv}^*}{(U_0^3/L_0)}, P_h = \frac{P_h^*}{(U_0^3/L_0)}, \bar{k} = \frac{\bar{k}^*}{U_0^2}, \bar{\epsilon} = \frac{\bar{\epsilon}^*}{(U_0^2/L_0)}, P_{kv} = \frac{P_{kv}^*}{(U_0^3/L_0)} \quad \dots \quad (7)$$

(2), (3)式では、水路床の x 方向勾配を \bar{k} の一定値とし、 y 方向勾配は小さいものとされている。(4)～(6)式では、一般に $k-\epsilon$ 乱れモデルと呼ばれている。未知量は、 h , \bar{U} , \bar{V} , \bar{k}_t , \bar{k} , $\bar{\epsilon}$ の6個、方程式は、(1)～(6)式の6本であり系は閉じている。

3. 環境条件

水路左端の境界では、 h , \bar{U} , \bar{V} , \bar{k} , $\bar{\epsilon}$ について それぞれ境界値が与えられ(ディリクレの条件)，水路下流端の境界では、全ての水理量の x 方向こう配をゼロとされており(ノイマン条件)。さらに、壁面境界では

すべりなしと不透過の条件により、 $\bar{U} = 0$, $\bar{V} = 0$ 、壁面上での流体の運動が無いことから $\bar{k} = 0$, $\bar{\epsilon} = 0$ とされている。また、側壁および平板に対しては、その壁面工に対する境界層が存在するとして、Laundor & Spalding によって推奨されている wall-function method³⁾ が用いられている。この方法によると、図-2に示す壁面工の格子点を W 、その点からの壁面の法線工の隣接格子点を P とする。中点の W 点の接線方向と平行な方向の速度 U_p は、一般分布則に従い、次式で表わされるとしている。

$$\frac{\bar{U}_p}{U_{ws}} = \frac{1}{k} \ln (Re U_{ws} Y_p E) \quad \text{ここに } \bar{U}_p = \frac{\bar{U}_p^*}{U_0}, U_{ws} = \frac{U_{ws}^*}{U_0}, k: \text{カルマン定数}$$

$$Re = \frac{U_0 L_0}{\nu}, Y_p = -\frac{Y_p^*}{L_0}$$

E: 壁面粗度の関数、滑面さは 0.9

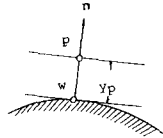


図-2

また、中点の \bar{k} , $\bar{\epsilon}$ は、摩擦速度 U_{ws} との関係を仮定している。

$$\bar{k}_p = \frac{U_{ws}^2}{\sqrt{C_\mu}}, \bar{\epsilon}_p = \frac{U_{ws}^3}{k Y_p} \quad \dots \quad (9) \quad \text{ここに } \bar{k}_p = \frac{\bar{k}_p^*}{U_0^2}, \bar{\epsilon}_p = \frac{\bar{\epsilon}_p^*}{(U_0^2/L_0)}$$

4. 方程式の差分化（内点）

(1)～(6)の方程式の差分化には、中央差分を用い、数値計算には、逐次加速度緩和法を用いた。一般に次式で表わされ、概要を図-3(a)に示す。

$$\phi_{i,j}^{k+1} = \phi_{i,j}^k + w \{ (A \phi_{i-1,j}^{k+1} + B \phi_{i,j+1}^{k+1} + C \phi_{i,j-1}^k + D \phi_{i+1,j}^k + E) - \phi_{i,j}^k \}$$

ここに ϕ : h , \bar{U} , \bar{V} , \bar{k} , $\bar{\epsilon}$ のいずれか

A, B, C, D, E : 係数 w : 加速パラメーター

添字 k , $k+1$ は、それぞれ k 次, $k+1$ 次の値を示す。

また、水深 h の修正式は、運動の式から求められた速度修正式の近似式

$$h_{i,j}^k = h_{i,j} + (F h_{i-1,j} + G h_{i,j+1} + S h_{i,j-1} + T h_{i+1,j})$$

ここに ϕ : \bar{U} または \bar{V} F, G, S, T : 係数

を連続の式に代入して求められている。また、数値計算には、すべての格子点 h , \bar{U} , \bar{V} , \bar{k} , $\bar{\epsilon}$ の初期値を与える必要がある。

5. 境界付近のコントロール・ボリューム

今回の数値計算に用いられた側壁または平板の境界付近のコントロール・ボリュームを図-3の(b)～(f)に斜線で示した。また、壁面境界工より 1 格子点内側の所では、前述の wall-function method の(8)式が用いられ、

図-3の(b)～(f)には、(8)式が成立する領域を点で示した。さらに、前述の 3. 境界条件と述べた条件を用いて、差分化を試みた。

6. おわりに

紙面の都合上、数値計算の詳細とその計算例については、講演時に発表する予定である。

〈参考文献〉

- 1) B.E. Launder and D.B. Spalding: "The numerical computation of turbulence flows", Comp. Meth. in Appl. Mech. Engng 3, pp 276-7, 1974
- 2) 水島徹治・板倉忠興・岸川:「乱流モデルによる開水路合流部の数値計算」土木学会第38回学術講演会講演概要集第2部 II-179, pp 357-8
- 3) 武本行正・阿部芳彦・西村益夫:「2方程式乱流モデルによる噴流の数値シミュレーション」第27回水理講演会論文集 土木学会 1983

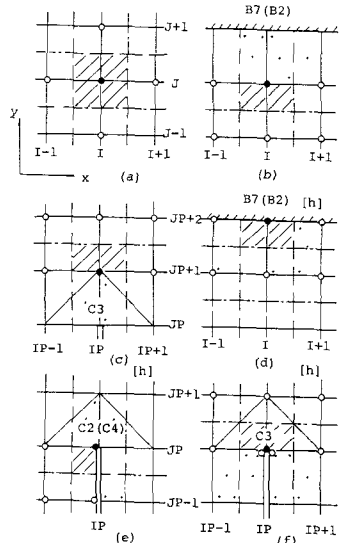


図-3